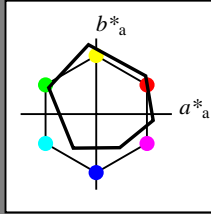


Eingabe: Farbmatisches Offset-Reflektiv-System ORS18a

mit *rgb*-Daten der vier Elementarbunttöne

- 1 0 0 = Rot *R*
- 1 1 0 = Gelb *J*
- 0 1 0 = Grün *G*
- 0 0 1 = Blau *B*

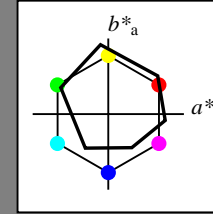


ORS18a; adaptierte CIELAB-Daten					
	$L^*=L^*_a$	$a^*_a$	$b^*_a$	$C^*_{ab,a}$	$h^*_{ab,a}$
$O_{Ma}$	47.94	65.39	50.52	82.63	38
$Y_{Ma}$	90.37	-10.26	91.75	92.32	96
$L_{Ma}$	50.9	-62.83	34.96	71.91	151
$C_{Ma}$	58.62	-30.34	-45.01	54.3	236
$V_{Ma}$	25.72	31.1	-44.4	54.22	305
$M_{Ma}$	48.13	75.28	-8.36	75.74	354
$N_{Ma}$	18.01	0.0	0.0	0.0	0
$W_{Ma}$	95.41	0.0	0.0	0.0	0
$R_{CIE}$	39.92	58.66	26.98	64.57	25
$J_{CIE}$	81.26	-2.16	67.76	67.79	92
$G_{CIE}$	52.23	-42.25	11.76	43.87	164
$B_{CIE}$	30.57	1.15	-46.84	46.86	271

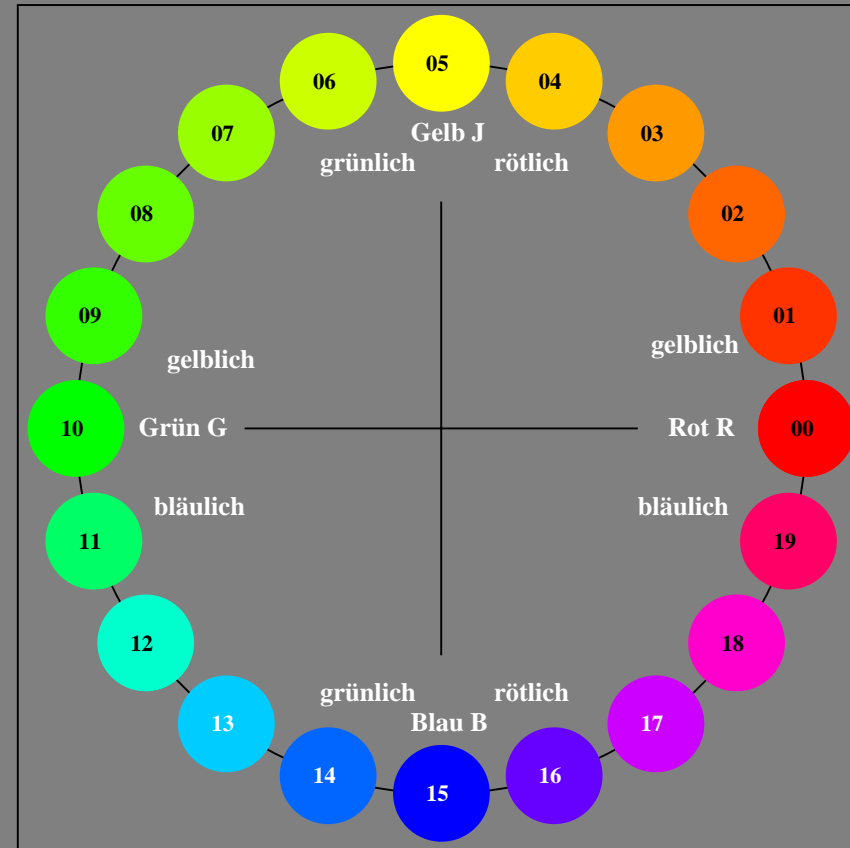
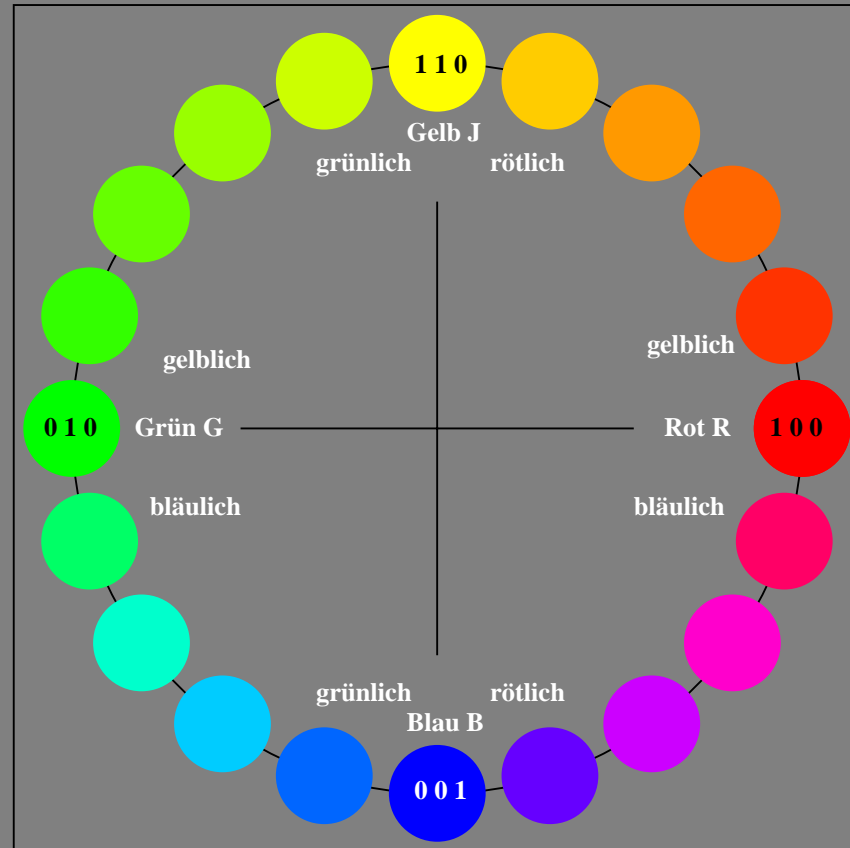
Ausgabe: Farbmatisches Offset-Reflektiv-System ORS18a

mit Bunttonnummer

- $n = 00$  bis 19
- 00 = Rot *R*
- 05 = Gelb *J*
- 10 = Grün *G*
- 15 = Blau *B*



ORS18a; adaptierte CIELAB-Daten					
	$L^*=L^*_a$	$a^*_a$	$b^*_a$	$C^*_{ab,a}$	$h^*_{ab,a}$
$O_{Ma}$	47.94	65.39	50.52	82.63	38
$Y_{Ma}$	90.37	-10.26	91.75	92.32	96
$L_{Ma}$	50.9	-62.83	34.96	71.91	151
$C_{Ma}$	58.62	-30.34	-45.01	54.3	236
$V_{Ma}$	25.72	31.1	-44.4	54.22	305
$M_{Ma}$	48.13	75.28	-8.36	75.74	354
$N_{Ma}$	18.01	0.0	0.0	0.0	0
$W_{Ma}$	95.41	0.0	0.0	0.0	0
$R_{CIE}$	39.92	58.66	26.98	64.57	25
$J_{CIE}$	81.26	-2.16	67.76	67.79	92
$G_{CIE}$	52.23	-42.25	11.76	43.87	164
$B_{CIE}$	30.57	1.15	-46.84	46.86	271



De150-7N, 20-stufiger Bunttonkreis mit Elementarfarben *R, J, G, B* (links)

20-stufiger Bunttonkreis mit Elementarfarben *R, J, G, B* (rechts)